

Lastnosti jedra

- Masa
- porazdelitev gostote
- porazdelitev gostote naboja
- Spin
- magnetni dipolni moment

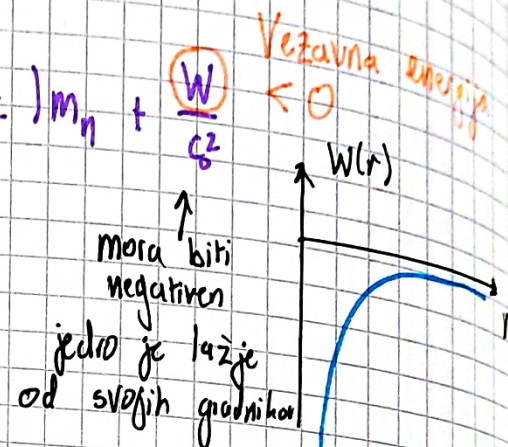
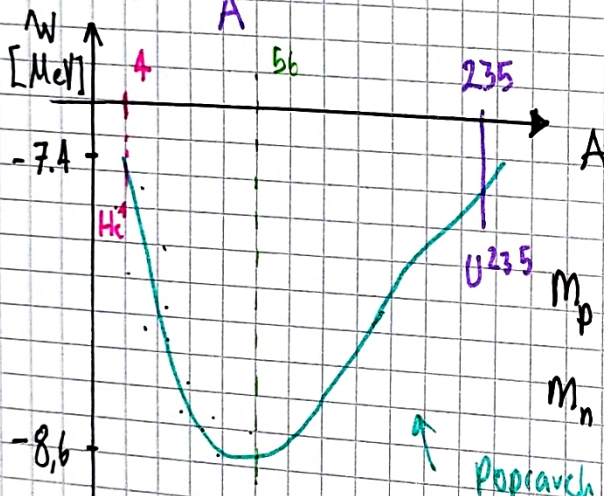
Masa jedra

$$m(Z, A) = Z \cdot m_p + (A - Z) m_n + \frac{W}{c^2}$$

Vezavna energija < 0

• Specifična vezavna energija

$$W_0 = \frac{W}{A}$$



Professor se vektorski
druži nukleu
 $\hbar = G_F = 1$

$$m_p = 0,93827 \dots \text{GeV}/c^2$$

$$m_n = 0,939565 \dots \text{GeV}/c^2$$

Popravak
na MeV

na skali GeV

$$W = W_0 = \frac{W}{A} \approx \text{konst.} \Leftarrow \frac{m(A, Z)}{A} \sim m_p + m_n + \frac{W}{c^2}$$

• Interakcija dolgega dosega?

• Interakcija bi morala biti dolgega dosega.

Mi pri meritvu dobimo $W \propto \frac{A(A-1)}{2}$ (Vsah z vsahim).

Nuklon "kopa" v sivoj okolici.

dosega.

• $W \propto A W_0$, torej da se

• SO interakcije kratek

Bethe - Weizsäcker / Kapfien model jeder

Pravila:

$$1) W \approx W_0 \text{ konst } \left(\frac{W}{A}\right)$$

$$2) r \propto A^{1/3} (V \propto A)$$

Površina "kuglice" $\propto A^{2/3}$, tjer
imamo slobodne rezone nukleona

$$3) \text{Odborj protonov: } \sim \frac{Z^2 e^2}{r} + W_2 \frac{Z^2}{A^{1/3}}$$

$$W_0 = 15,6 \text{ MeV}$$

$$W_1 = 17,2 \text{ MeV}$$

$$W_2 = 0,7 \text{ MeV}$$

$$W_3 = 23,2 \text{ MeV}$$

$$W_4 = 12 \text{ MeV}$$

$$4) \text{Število protonov je } \approx \text{št. neutronov} + W_3 \frac{(2Z-A)^2}{A}$$

$$Z \approx (A-Z)$$

$$\delta(A, Z) = \begin{cases} -1 & \text{soda soda} \\ 0 & \text{soda lito} \\ 1 & \text{lito lito} \end{cases}$$

$$5) \text{Preferirano je } Z, (A-Z) \text{ soda } \uparrow \uparrow + W_4 \frac{\delta(A, Z)}{A^{3/4}}$$

(kvantni nivoji v jedru)

Od lihih lihih jader poznamo samo 4: ${}^2_1 H, {}^{10}_5 B, {}^6_3 Li, {}^{14}_7 N$

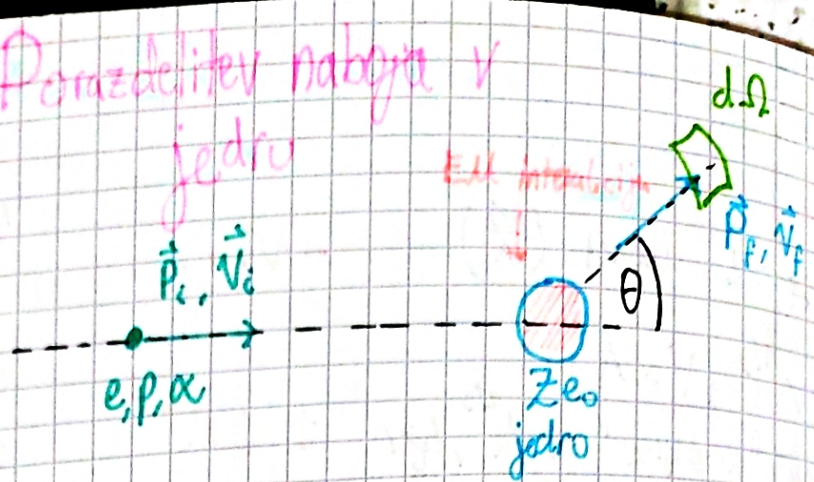
"Magična" jader:

Formulu močnej odstopu, ker so ta jeda močno vezana

$$P: Z$$

$$n: N = (A - Z) \quad \left\{ \begin{array}{l} 2, 8, 20, 28, 50, \dots \end{array} \right.$$

Experiment:
[Sipanje / Scattering]



$$d\Omega = d\theta \sin\theta d\theta$$

↓ rotacijska simetrija

$$d\Omega = 2\pi \sin\theta d\theta$$

Izhodisce celotne zadave je Fermijev zlato pravilo

$$\Psi_i \rightarrow \Psi_f \quad W_{f+i} = \frac{2\pi}{\hbar} |V_{fi}|^2 g_f(E_i)$$

↓

Verjetnost za prehod
na časovno enoto $(\frac{1}{n}, 1, \frac{\pi}{n}, \dots)$

V_{fi} - matrični element: $\langle \Psi_f | \hat{H} | \Psi_i \rangle$

$g_f(E_i)$ - gostota koničnih stanj kot f. energije

Izpeljava Fermijevega zlatega pravila

$$\hat{H} = \hat{H}_0 + \hat{H}'$$

↑ ↳ Motnja / interakcija
"Nemoteno življenje"

časovno evolucijo

podaja SE:

$$i\hbar \frac{\partial}{\partial t} |\Psi(t)\rangle = \hat{H} |\Psi(t)\rangle$$

$$|\vec{\Psi}_i\rangle \rightarrow |\vec{\Psi}_f\rangle$$

$$\underline{S} (t \in [-\infty, +\infty])$$

$$i\hbar \frac{\partial}{\partial t} |\Psi(t)\rangle = \hat{H} |\Psi(t)\rangle$$

$$|\Psi(t)\rangle = e^{-\frac{i}{\hbar} \int_0^t \hat{H} dt} |\Psi(t=0)\rangle$$

$U(t=0, t)$

Problem poskusimo rešiti perturbativno. Nač bo motnja Moshna, da je originalna baza še vedno dobra:

$$H_0 |n\rangle = E_n |n\rangle \quad \langle n|n\rangle = \delta_{nn}$$

↳ Ortogonalna baza

Razijemo stanje po bazi:

$$|\Psi(t)\rangle = \sum_n a_n(t) e^{-i \frac{E_n}{\hbar} t} |n\rangle$$

$$P_n(t) = |a_n(t)|^2$$

Ta nastavek vstavimo v SE:

$$i\hbar \frac{\partial}{\partial t} \sum_n a_n(t) e^{-i \frac{E_n}{\hbar} t} |n\rangle = (H_0 + H') \sum_n a_n(t) e^{-i \frac{E_n}{\hbar} t} |n\rangle / \cancel{\langle n|e^{i \frac{E_n}{\hbar} t}|n\rangle}$$

$$i\hbar \frac{\partial a_n(t)}{\partial t} = \sum_n \underbrace{\langle n|H'|n\rangle}_{\text{Interakcija / Priklic nač stanja}} a_n(t) e^{-i \frac{E_n}{\hbar} t} \cdot e^{i \frac{E_n}{\hbar} t}$$

Interakcija / Priklic nač stanja:

Če je interakcija trivialna $H'=0$ dobimo kar identitev $a_n = \delta_{nn}$. Za neprividno pa:

$$a_n(t) = \frac{1}{i\hbar} \sum_n \int_0^t \underbrace{\langle n|H'|n\rangle}_{\text{Novi priklic}} a_n(t') e^{i \frac{E_n}{\hbar} t'} dt'$$

Novi priklic

Stari priklic

To iterativno reševanje ↗ Picardova iteracija?

Zacetni približek: Zacetno stanje naj bo lastno $i = n$

$$a_i(t=0) = 1$$

$$a_{k \neq i}(t=0) = 0$$

Samo en člen vsote (punktigriramo)

$$\Rightarrow a_k(t) = \frac{1}{i\hbar} \langle u | H' | i \rangle \cdot 1 \left(e^{\frac{i t (E_n - E_i)}{\hbar}} - 1 \right) \frac{t}{i(E_n - E_i)}$$

$$|a_u(t)|^2$$

$$e^{ix} - 1 = e^{i\frac{x}{2}} \frac{e^{i\frac{x}{2}} - e^{-i\frac{x}{2}}}{2i} \cdot 2i = e^{i\frac{x}{2}} 2i \sin\left(\frac{x}{2}\right)$$

$$|a_u(t)|^2 = |\langle u | H' | i \rangle|^2 \cdot 4 \sin^2\left(\frac{(E_n - E_i)t}{2\hbar}\right) \frac{1}{(E_n - E_i)^2}$$

Končna stanja so lahko diskreten nabor:

$$\sum_{u=f} |a_u(t)|^2 = P_f(t)$$

$$|V_{fi}|^2$$

$$E_f = E_i$$

Elastičnost

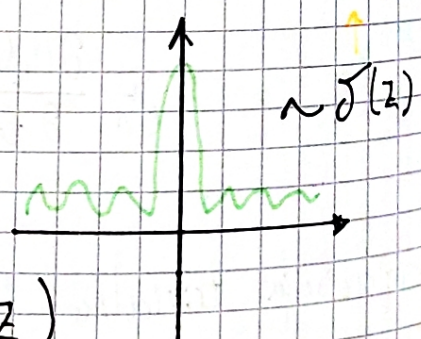
ali pa zvezna končna stanja

$$P_f(t) = 4 \int g(E_f) dE_f |\langle f | H' | i \rangle|^2 \sin^2\left(\frac{t}{2\hbar}(E_f - E_i)\right) \frac{1}{(E_f - E_i)^2}$$

Končna stanja

Velja:

$$\int \frac{\sin^2(\alpha z)}{z^2} dz = \pi \alpha$$



Kjer je pri nas:

$$\alpha = \frac{t}{2\hbar} \quad z = E_f - E_i \quad ; \quad dz = dE_f$$

$$z=0 \Leftrightarrow E_f \rightarrow E_i$$

$$P_f(t) = 4 |V_{fi}|^2 g(E_i) \frac{\pi t}{2h}$$

$$\Rightarrow \frac{dP}{dt} = W_{fi} \Rightarrow W_{fi} = \frac{2\pi}{h} |V_{fi}|^2 g(E_i)$$

To bi radi predstavili v nalog kar ima več Ruthenfordovo sipanje.

Gostota končnih stanj:

$$dN_f = \frac{\rho^3 r^3 d^3 p}{h^3} = V_N \frac{d^3 p}{h^3}$$

↑
Normirano
volumen

Nerelativistično

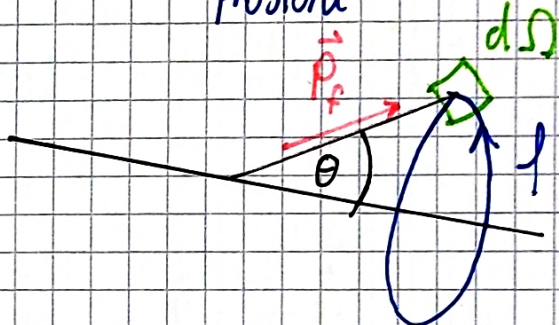
$$d^3 p = p^2 dp d\Omega$$

Sferične koordinate v p

(Gostota energijskih stanj je tako):

$$dg_f(E_f) = \frac{dN_f}{dE_f}$$

Prostoru



V našem primeru $p \Rightarrow P_f$

$$d\beta_f(E_f) = \frac{dN_f}{dE_f} = \frac{V}{h^3} \frac{P_f^2 dP_f d\Omega}{dE_f}$$

$$; E_p = \frac{P_f^2}{2m}$$

$$dE_f = \frac{P_f dP_f}{m}$$

$$\frac{d\beta_f(E_f)}{d\Omega} = \frac{V_N}{h^3} P_f m = V_N \frac{m P_f}{(2\pi h)^3}$$

Za elastično nerelativistično sipanje: $P_f = p_i = mv_i$

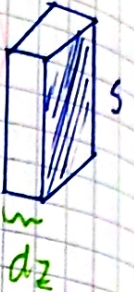
$$E_f = E_i$$

$$\Rightarrow \frac{d\beta_f(E_f)}{d\Omega} = V_N \frac{m^2 N_c}{(2\pi h)^3}$$

Merkiva volitvina pri spanju (sipalni presch)

$\frac{d\beta}{d\Omega}$ Diferencialni sipalni presch
po prostorinem ledu
(čebelju predstavlja verjetnost za pogreb)

$$V = S \cdot d_z$$



Iz stranice:
absorpcija $\{ dN_f = \frac{\beta}{S_0} N_i N_t \beta d\Omega = N_i n_t \beta d\Omega = -dN_t \}$

St. tlor

↑ St. izstrelkor

barn

Bodj moderno:

$$\frac{dN_f}{dt} = L \cdot \beta$$

Presch: $[L = 10^{-28} \text{ m}^2 = 100 \text{ fm}^2]$

$$N_t = n_t \cdot V$$

Luminoznost: Lastnost eksperimenta
(npr. zareb v pospesorahniku)
 $[b^{-1} s^{-1}]$

(časovno) integrirana Luminoznost / integrated luminosity

$L_{int}, \int L dt : [b^{-1}]$

Npr. $V \approx \text{LHC}$

$$L_{int} = 10140 \text{ fb}^{-1}$$

So: $dN_f = N_i N_t \beta d\Omega \xrightarrow{N_t} \frac{N_t}{V}$ v času t .

\hookrightarrow ji st

$$\Rightarrow \frac{dN_f}{d\Omega} = N_i n_t \frac{d\beta}{d\Omega} d\Omega$$

Tot \Rightarrow Verjetnost na časovno enoto po definiciji:

$$W_{f,t} = \frac{dN_f}{N_t \cdot t}$$

To zdrojimo Shupfj v:

$$\frac{d\phi}{dr} = - \frac{dW_F}{dr}$$

Matrični element V_{fi}

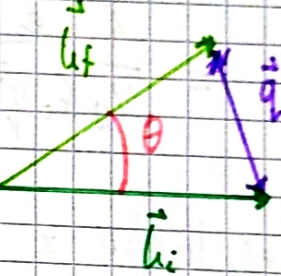
$$V_{fi} = \int_{V_N} \Psi_f^*(\vec{r}) V(\vec{r}) \Psi_i(\vec{r}) d^3 r$$

$\hookrightarrow H' = V$ (EM interakcija)

Ravnivalovi mcd
samo interagirajo: $\Psi_i = \frac{1}{\sqrt{V_N}} e^{i\vec{k}_i \cdot \vec{r}}$; $\vec{k}_i = \frac{\vec{p}_i}{\hbar}$ } $g_i = |\Psi_i|^2 = \frac{1}{V_N}$
gustota izsticaka

$$\Psi_f = \frac{1}{\sqrt{V_N}} e^{i\vec{k}_f \cdot \vec{r}}; \vec{k}_f = \frac{\vec{p}_f}{\hbar}$$

$$V_{fi} = \frac{1}{V_N} \int e^{-i\vec{k}_f \cdot \vec{r}} V(\vec{r}) e^{i\vec{k}_i \cdot \vec{r}} d^3 r =$$



$$= \frac{1}{V_N} \int e^{i\vec{q} \cdot \vec{r}} V(\vec{r}) d^3 r =$$

Nabog
izstraljen

$$\vec{q} = \vec{k}_i - \vec{k}_f$$

$$|\vec{k}_i| = |\vec{k}_f|$$

$$q = 2k_i \sin \frac{\theta}{2}$$

Zapisimo potencial kot: $V(\vec{r}) = e U(\vec{r})$

EM. potencial tarice

Uporabimo Greenovo formula:

$$\int_V [u \nabla^2 \psi - \psi \nabla^2 u] d^3 r = \oint \vec{u} \cdot \vec{\nabla} \psi - \psi \vec{\nabla} \cdot \vec{u} d\vec{s}$$

ljudi pri nas vzdoljmo: $u = e^{i\vec{q} \cdot \vec{r}}$, $\psi = e U(\vec{r})$. Uporabimo te

$$\nabla^2 U(\vec{r}) = - \frac{g_e(\vec{r})}{E_0}$$

$$\text{Tarica (zedro)} = \int_V g_e(\vec{r}) d^3 r = Z e_0$$

Vemo gotovo įe $U(\vec{r})$ in $\nabla(U(\vec{r})) = -\vec{E}$ gresta $\rightarrow 0$ za $r \rightarrow \infty$.

Resimo sedaj levo in desno stran Greenove formule:

$$\Rightarrow \int_{V_N} (-q^2) e^{i\vec{q} \cdot \vec{r}} (eU) d^3r - e \int_{V_N} e^{i\vec{q} \cdot \vec{r}} \nabla^2 U(\vec{r}) d^3r = 0$$

Desna stran
Zaradi podaja
 $V_N \rightarrow 0 \rightarrow 0$
 $r \rightarrow \infty$.

$$\Rightarrow V_{fi} = \frac{1}{V_N} \int_{V_N} e^{i\vec{q} \cdot \vec{r}} V(\vec{r}) d^3r = \frac{e}{\epsilon_0 q^2} \frac{1}{V_N} \int_{V_N} e^{i\vec{q} \cdot \vec{r}} f_e(\vec{r}) d^3r =$$

$$= \frac{1}{V_N \epsilon_0 q^2} F(\vec{q})$$

kvazi "FT" $\Rightarrow F(\vec{q})$

Oblikovni faktor/
form factor

Sedaj lahko z vsem tem poskusimo izračiti naš diferencialni presel:

$$\frac{d\sigma}{d\Omega} = \frac{dW_{fi}/d\Omega}{N_i} = \frac{2\pi}{h} |V_{fi}|^2 \frac{d\sigma_f}{d\Omega} \frac{1 \cdot V_N}{N_i} =$$

$$= \frac{2\pi}{h} |V_{fi}|^2 V_N \frac{m^2 N_i}{(2\pi h)^3} \frac{V_N}{N_i} =$$

$$\Rightarrow = \frac{2\pi}{h} |V_{fi}|^2 V_N^2 \frac{m^2}{(2\pi h)^3} = \frac{2\pi}{h} \left[\frac{me}{\epsilon_0 q^2} \right] \frac{1}{(2\pi h)^3} |F(\vec{q})|^2 \frac{V_N^2}{V_N^2}$$

$$\underline{\underline{\frac{d\sigma}{d\Omega} = \frac{2\pi}{h} \left[\frac{me}{\epsilon_0 q^2} \right] \frac{1}{(2\pi h)^3} |F(\vec{q})|^2}}$$

Za Rutherfordovo sisanje pa smo pri modifizz dobili:

de Broglie

$$\lambda = \frac{h}{p}$$

$$\frac{d\sigma}{d\Omega} = \left[\frac{mc^2}{8\pi\hbar^2 p^2} \right]^2 \sin^2(\theta) |F(\vec{r})|^2$$

~ Rutherford

Približek

Vejja lot je energija
bok latko otipurno
notranjo strukturi

↓
ekivalent lot količig
gretabe $\neq 1$

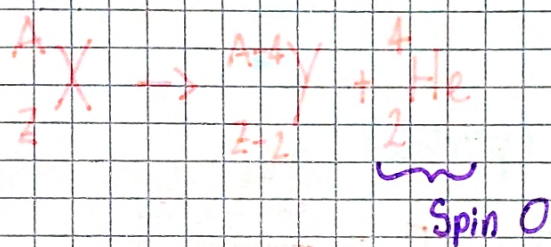
$$\lambda \gg R \text{ jedra } g_e(\vec{r}) = Z e_0 \delta(\vec{r} - \vec{r}_0)$$

Da lahko gledamo strukturo jedra $\lambda \sim R \Rightarrow g_e(\vec{r}) \neq \delta$

Temu se reče "Deep" scattering (Elastic / Inelastic)

Jedrski razpad

Razpad α :



Kinetika:

$$T_\alpha + T_y = (m_x + m_y - m_\alpha) c_0^2$$

$\Rightarrow T_\alpha \gg 0$: Po semiempirični masni formuli je to možno $A > 150$.

Eksperiment pa pokaze, da je to slab račun in da mora biti $A > 200$ (npr. ${}^{207}_{82} Pb$),

Eksperimentalni "fit" na podatke:

Geiger-Müller law:

$$\gamma \in [10^{-10} \text{ s}, 10^4 \text{ s}]$$

$$\log \frac{\log t_{1/2}}{\log \gamma} = \frac{c_1 \cdot Z}{\sqrt{T_\alpha}} + c_2 \sim \frac{1}{\sqrt{T_\alpha}}$$

Včasih

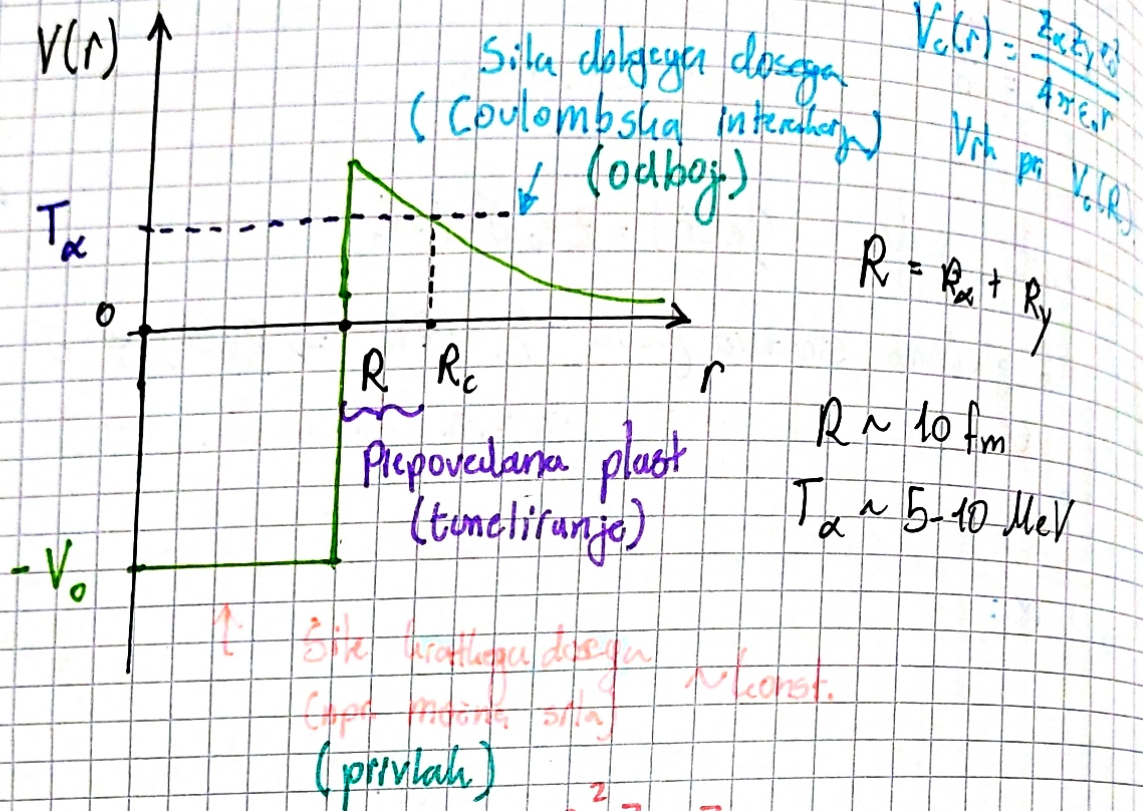
Za redov veličest:
ampak je ta
"f.i." kar dober

$$\lambda = \frac{1}{\gamma} = \frac{\ln 2}{t_{1/2}}$$

Albo Model tuneliranja (razpad je dan s tuneliranjem deka α)

Ta model preceg dobro opisuje rezultat Geiger-Mulleraovega zulana

I mamo potencial približno:



$$\text{Delek je prost, ko je } r > R_c : T_\alpha = \frac{e_0 Z_\alpha Z_y}{4\pi e_0 R_c}$$

$$\frac{1}{\gamma} = \lambda = P \cdot \gamma \quad \text{Verjetnost za tuneliranje}$$

Potrebujemo frekvenco zadržanja ob barijeri:

$$\gamma = \frac{N_\alpha}{R}$$

$$G = \frac{R}{N_\alpha}$$

$$\text{budi se najde } t_0 = \frac{2R}{N_\alpha}$$

natančno.

Veličina te ta model ne izide. Morali bi uporabiti lupiški model. Oholi magičnegu řešenja $N_n = 126$, $A \approx 200$, je gremo do 125 imamo še dva neutrona, ki sta izven vsch lupin (šibko vezani). Če dodamo še dva šibkovca p^+ , dobimo močno vezan α delec.

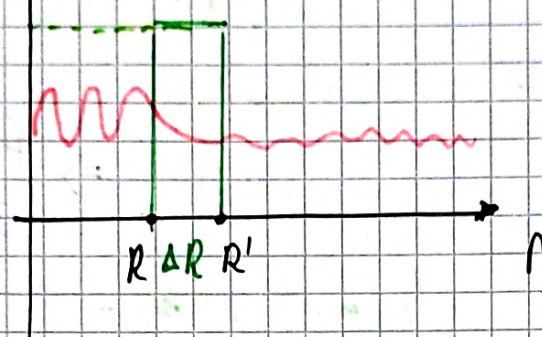
$$\Rightarrow \Delta E \rightarrow T_\alpha$$

Slučaj tuneliranja

Vzamešmo kar preproste dvire (barrič)

$$V(r) \uparrow$$

$$V_0(R)$$



$$R \Delta R R'$$

r

μ ... red. masa

$$\frac{1}{\mu} = \frac{1}{m_x} + \frac{1}{m_y}$$

frepustnost:

$$P = \left[\frac{16 \pi^2}{h^2 k^2} \right] e^{-2\lambda R}$$

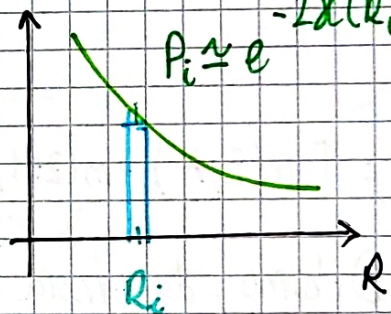
$$R_c = \frac{24}{h^2} T_c$$

$$k^2 = \frac{2\mu}{h^2} (V_0(R) - T_c)$$

$$-2\lambda(R_c) \Delta R$$

če postane ~~preprosta~~ bariera leti hot "rezina"

$$\frac{\Delta R}{R} \ll 1$$



Celotna prepustnost je potem produkt vseh vejetnosti:

$$P_T = \prod_i P_i = \exp \left(\sum_i (-2\lambda(R_i) \Delta R) \right)$$

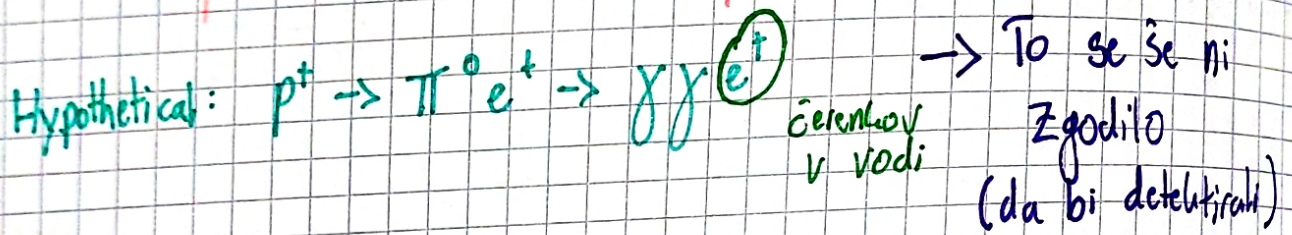
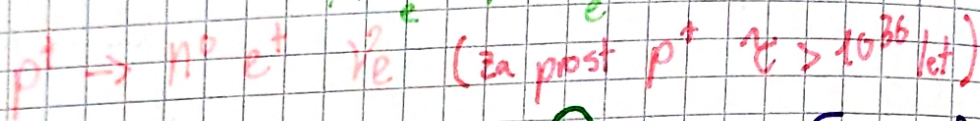
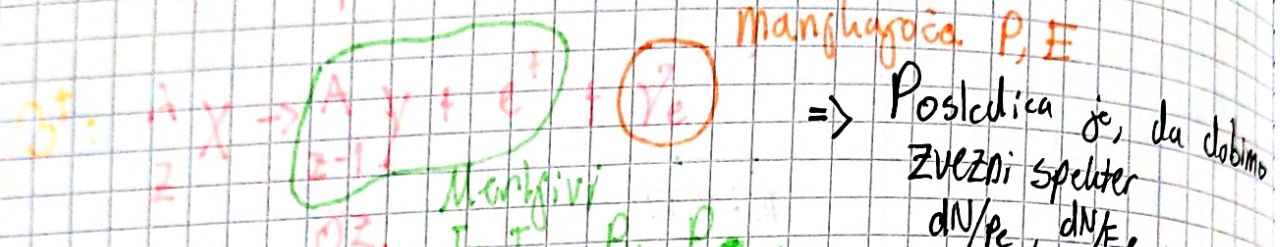
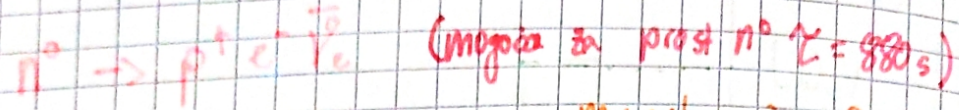
$$P_T = e^{-2G} ; \text{ Gamow Factor } G$$

$$G = \int_R^{R_c} \chi(r) dr = \int_R^{R_c} \sqrt{\frac{2\mu}{h^2} (V_0(r) - T_c)} dr$$

$$\sim G \sim \frac{1}{\sqrt{k}} \cdot z ; R \ll R_c \text{ (debelo barierja)}$$

To je to kar nam potrebi Geiger-Müllerjeva pravilo.

Razpadi β :



Kriterija:

$$\beta^-: [m(z, A) - m(z+1, A) - m_e] c^2 \geq 0$$

Dobimo, da mora biti razlika vezanih energij

$$|W(z+1, A)| - |W(z, A)| \geq -0,78 \text{ MeV}$$

$$\beta^+: [W(z-1, A)] - [W(z, A)] \geq 1,79 \text{ MeV}$$

Verjetnost za razpad na jasovno enoto:

$$W_{f_i} = \frac{\lambda}{\alpha_i} = \frac{2\pi}{\hbar} |V_{f_i}|^2 g_F(E_i) \quad \checkmark$$

Fermijev zlat
pravilo

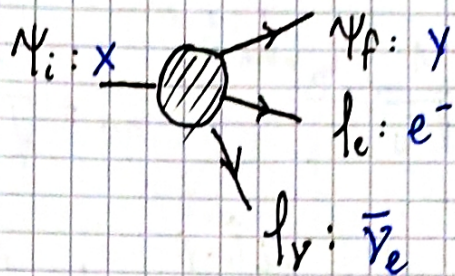
Fermi predpostavi:

$$V_{f_i} = G_F \int \psi_p^* \psi_e^* \psi_p \psi_i d^3 r$$

SOMY ker
je vse
neonsko
Ana

$$V_{fi} = \langle \Psi_f f_e f_\nu | \hat{H}_{int} | \Psi_i \rangle$$

S plošen izraz

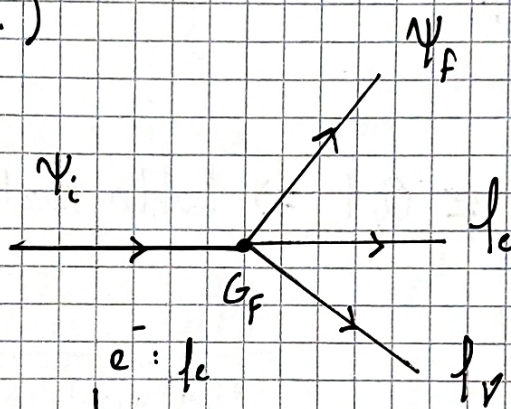


$$V_{fi} = \int \Psi_f^* f_e^* f_\nu^* \hat{H}_{int} \Psi_i d^3 r$$

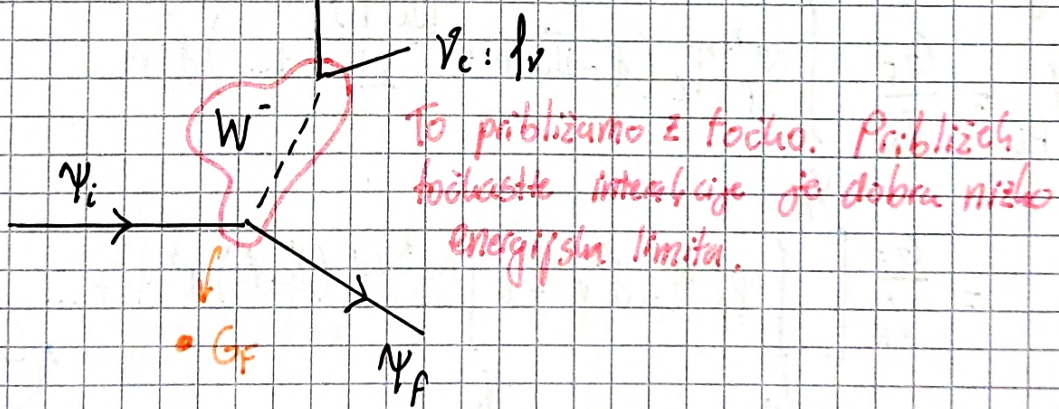
Torej vidimo, da je Fermi predpostavil: $\hat{H}_{int} = G_F + \text{slabopitrena konstanta}$ (Sibla, Fermijev) Termu se reče "point-like interaction" (Yukawa terms)

To da se VF samo zmožijo pomeni, da imamo samo tri "kroglic" (nisi ni več izsevanih γ ipd.)

"Feynmannov diagram"



Bolj točno:



Včasih v literaturi:

$$\hat{H}_{int} = G_F \cdot \hat{Y}$$

Operator spreminja $n \leftrightarrow p$ (izospin)

Vzunimo $e, \nu \rightarrow f_e, f_\nu$ so ravni valovi (so prosti)

Ker drugače ne znamo vzamemo Neorelativistično QM in "Fineish" relativistična kinetika

T_{ref} :

$$f_e = \frac{1}{\sqrt{V_N}} e^{i \vec{k}_e \cdot \vec{r}}$$

$$f_V = \frac{1}{\sqrt{V_N}} e^{i \vec{k}_V \cdot \vec{r}}$$

$$\vec{k}_e = \frac{\sqrt{E_e - m_e^2 c_0^4}}{\hbar c_0} = \frac{\vec{p}_e}{\hbar}$$

$$\Rightarrow f_e^* f_V^* = \frac{1}{V_N} e^{-i \vec{k} \cdot \vec{r}} \quad \vec{k} = \vec{k}_e + \vec{k}_V$$

Sistem

(Oz. to raven opisuje tisti Bozon W, o tem kdo)

$$\hbar c_0 = 117 \text{ eV nm} = 197 \text{ MeV fm}$$

$$V_{fi} = G_F \frac{1}{V_N} \int_V \Psi_f^* \Psi_i e^{-i \vec{k} \cdot \vec{r}} d^3 r$$

Naredimo multipolni razvoj eksponenta!

Izena slatki problema:

$$k \cdot r < 1$$

G.K. $\rightarrow \frac{1 \text{ MeV}}{197 \text{ MeV fm}} \underset{s}{(10 \text{ fm})} \simeq 0,1 \Rightarrow$ Lahko naredimo multipolni razvoj

$$r \approx R$$

T_{ref} :

$$V_{fi} = \frac{G_F}{V_N} \int_V \Psi_f^* \Psi_i \left(1 - i \vec{k} \cdot \vec{r} + \frac{(\vec{k} \cdot \vec{r})^2}{2!} + \dots \right) d^3 r$$

$$= \frac{G_F}{V_N} \left[\int_V \Psi_f^* \Psi_i d^3 r - i \int_V \Psi_f^* \Psi_i (\vec{k} \cdot \vec{r}) d^3 r + \dots \right] =$$

NI odvisnosti od $\vec{k} \cdot \vec{r}$
če je $\neq 0$ imamo
dovoljeni razpad

če prvi člen ničlen in tale ... dvakrat ...
 $\neq 0$ imamo:

enzkrat prepovedan (once forbidden)
razpad

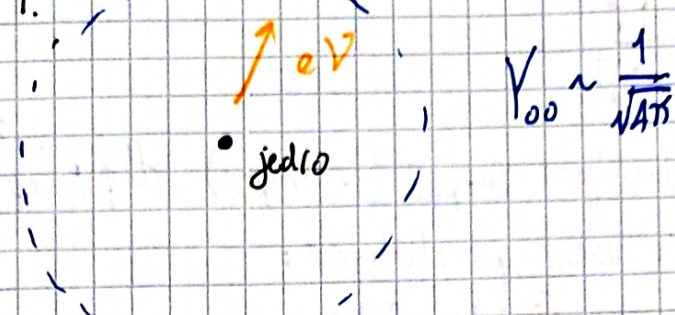
Obhodna

Pokaže se, da členi:

$$(\vec{k} \cdot \vec{r})^L \xrightarrow{L=0,1,2,3}$$

Ustrezajo izsevanju para eV z urtilno
kulicino $\Gamma = h \sqrt{\ell(\ell+1)}$. $Y_m(\theta, \phi)$ za "pol"

To pomeni, da je dovoljeni razpad izotropen $\chi_{lm} \sim \frac{1}{\sqrt{4\pi}}$, ostali členi pa ustrezajo $l \geq 1$.



$$V_{00} \sim \frac{1}{\sqrt{4\pi}}$$

Integralni prispevki so skoraj konstantni (neodvisni od E_e, E_γ, \dots). Bistven prispevki je prispevki faznega prostora $\Omega_f(E_i)$!

npr. dovoljeni $l=0$ razpad.

$$V_{fi} = \frac{G_F}{V_N} M_{fi}; M_{fi} = \int \Psi_f^* \Psi_i d^3 r = \underbrace{\int \Psi_f^* \Psi_i d^3 r}_{\text{Vrati se v literaturi}}$$

Sedaj nam manjka le še prispevki faznega prostora.

Splošno: Fazni prostor N delci v koničnem stanju

$$\int \frac{d^3 p_1}{(2\pi\hbar)^3} \frac{d^3 p_2}{(2\pi\hbar)^3} \dots \frac{d^3 p_N}{(2\pi\hbar)^3} f^{(3)}(\vec{p} - \sum_i \vec{p}_i) =$$

članuter funkcije koordinate

Točji delci niso čisto "neodvisni" med seboj

$$= \int \frac{d^3 p_1}{(2\pi\hbar)^3} \dots \frac{d^3 p_N}{(2\pi\hbar)^3} J^{(3)} \left(\vec{p}_N - \left(\vec{p} - \sum_{i=1}^{N-1} \vec{p}_i \right) \right) =$$

enega delca smo se znebili

$$= \int \frac{d^3 p_1}{(2\pi\hbar)^3} \dots \frac{d^3 p_{N-1}}{(2\pi\hbar)^3}$$

To je sta 2 delci pomeni, da si en res pojavno izbere G.K. drugi pa pristane v točno določeni točki faznega prostora z verjetnostjo 1

Nás přímer: $N = 3$

$$\int \frac{d^3 p_e}{(2\pi\hbar)^3} \frac{d^3 p_\gamma}{(2\pi\hbar)^3}$$

OZ. Bývá třeba za dovoljeni rozpad (izotropní) $dN_f = V_F^2 \frac{d^3 p_e d^3 p_\gamma}{(2\pi\hbar)^6}$
Předpostavimo izotropnost všech produktorů:

$$dN_f = V_F^2 \frac{(4\pi)^2 p_e^2 d\epsilon p_\gamma^2 dP_\gamma}{(2\pi\hbar)^6}$$

izotropno $\iint d\Omega_e d\Omega_\gamma$, Neněmo koutne odněšnosti

Dodamo sedaj ře se ohraňtev energií:

$$E_i = m(Z, A) C_0^2 = E_f = m(Z-1, A) C^2 + E_e + E_\gamma$$

E
Razpoložitelná energie
 $\Delta m C_0^2$

$$\left. \begin{array}{l} dE_i = dE_f = dE \\ E_e^2 = p_e^2 C_0^2 + m_e^2 C_0^4 \\ E_\gamma = p_\gamma C_0 ; \quad m_\gamma \approx 0 \end{array} \right\} \quad \begin{array}{l} p_\gamma^2 = \frac{E - E_e}{C_0} \\ dp_\gamma = \frac{dE}{C_0} \end{array}$$

Tedy:

$$dN_f \sim p_e^2 dp_e (E - E_e)^2 dE$$

$$dg(E) = \frac{dN_f}{dE} \sim p_e^2 dp_e (E - E_e)^2$$

$$\Rightarrow \frac{dg}{dp_e}(E) \sim \underline{\underline{p_e^2 (E - E_e)^2}}$$

Merlivivo

To nám da zvozni spekter

OZ. točneje:

$$\frac{d\lambda}{dp_e} = \frac{16\pi^2 V^2}{(2\pi\hbar)^6 G^3} A^2 (E - E_e)^2$$

To lahko končno damo v Fermijovo zlato pravilo (za $\lambda = 0$)

$$\frac{d\lambda}{dp_e} = \frac{1}{2\pi^3} \frac{G_F^2 |U_{fi}|^2}{\hbar^2 c^5} p_e^2 (E - E_e)^2 \xrightarrow{\int dA} \lambda \propto E^5$$

Veličinskiat se to zapisa brezdimenzijsko

$$W = \frac{E_e}{m_e c^2} \quad P = \frac{p_e}{m_e c^2}$$

$$\Rightarrow p = \sqrt{W^2 - 1}$$

$$W_0 = E/m_e c^2$$

$$\Rightarrow \frac{d\lambda}{dW} = \frac{1}{2\pi^3} G_F^2 |U_{fi}|^2 \frac{m_e c^4}{\hbar^2} P^2 (W_0 - W)^2$$

||

$N(p)$ - zgodovinska oznaka
(st. dogodkov pri p na enoto časa)

Lahko tudi reparametriziramo v energijo:

$$\Rightarrow \frac{d\lambda}{dW} = \frac{1}{2\pi^3} G_F^2 |U_{fi}|^2 \frac{m_e c^4}{\hbar^2} P^2 W^2 (W_0 - W)^2$$

Običajno nismo:

$$\left[\frac{N(p)}{p^2} \right]^{1/2} \propto W_0 - W \propto \boxed{E_0} - E$$

Energija na enojo

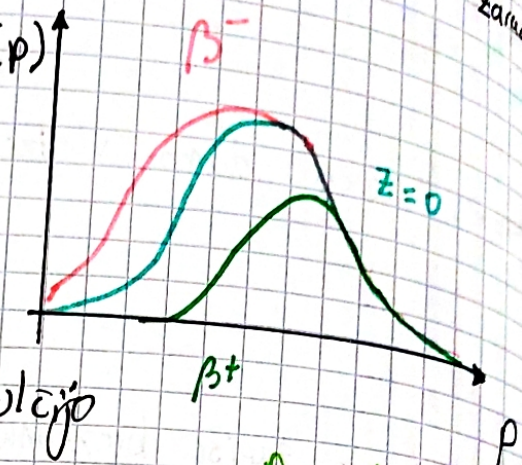
Fermi-Kuric graf

$\frac{n_e}{c}$ curic

Dodajo ga Fermi faktor $F(z, p)$, ubistvo je to popravak za Coulombovu silu (Coulomb correction).

$$\hookrightarrow G_F^2 \rightarrow G_F^2 F(z, p)$$

$$\lambda = \frac{1}{\gamma} = \frac{1}{2\pi^3} G_F [M_{F_i}]^2 \frac{mc^5}{\hbar^2} f(z, p)$$



Običajno riješio je ubistvo, a po pravu zamolčijo

$$\left[\frac{N(p)}{p^2 F(z, p)} \right]^{1/2} \propto (W_0 - W)$$

↓ Korrekcija

$$\frac{1}{\gamma} = \frac{\Gamma}{\hbar}$$

razpadna silitina.

Izbirna pravila za β razpade:

Sledijo iz tega, da se mora vrtilna kolicina jedar se ohranjati.

$$\hat{j}_i = \hat{j}_f + \hat{j}_{(eV)} \quad \checkmark \quad \text{Sistem eV}$$

$$\hat{j}_{eV} = \hat{l} + \hat{s}_{eV} \quad \begin{matrix} \text{Spinshi del} \\ \text{Obhodni del} \end{matrix} \quad S_e = \frac{1}{2} \quad S_{eV} = \frac{1}{2}$$

$$\Rightarrow S_{eV} = 0, 1$$

Kategorije:

Singletno stanje: $S_{eV} = 0$ (Fermijevi razpadi)

Tripletne stanje: $S_{eV} = 1$ (Gamow-Teller razpadi)

} Trik neenakost \hat{j}_{eV}

Fermi: $\hat{j}_{eV} = l$

G-T: $\hat{j}_{eV} = l \pm 1, 0$

$$\text{Npr: } J_i = J_f \Rightarrow F: l = 0$$

$$GT: l=1, S_{\text{ev}} = 1$$

Za razna stanja jeder se parnost ohranja:

$$\begin{aligned} \hat{P} \Psi_i(\vec{r}) &= P_i \Psi_i(\vec{r}) \\ \hat{P} \Psi_F(\vec{r}) &= P_F \Psi_F(\vec{r}) \end{aligned} \quad \left. \begin{array}{l} P_i = P_F \cdot P_{\text{ev}} \\ \downarrow i^2 \\ Y_{lm_\alpha} \end{array} \right.$$

$$\hat{P} Y_{lm_\alpha} = (-1)^l Y_{lm_\alpha}$$

Konino konfiguracijo:

$$\Delta l = 0 \rightarrow n_i \text{ spremembe parnosti}$$

$$\begin{aligned} \Delta J = 0 \text{ za Fermi} \\ \Delta J = 0, \pm 1 \text{ za GT} \end{aligned} \quad \left. \begin{array}{l} \text{"dovoljeni prehodi"} \\ \text{ "propovedani" } \end{array} \right.$$

$$\Delta l = 1 \rightarrow \text{sprememba parnosti}$$

$$\begin{aligned} \Delta J = 0, \pm 1 \text{ za } (F) \\ \Delta J = 0, \pm 1, \pm 2 \text{ za GT} \end{aligned} \quad \left. \begin{array}{l} \text{Prvi "propovedan"} \\ \text{ "prvega" } \end{array} \right.$$

Razniskih v obrotni smeri:

$$\text{Recimo } J_i = J_f \Rightarrow \Delta J = 0$$

$$\left. \begin{array}{l} l=0, F \text{ razpad} \end{array} \right.$$

$$(S_{\text{ev}} = 0) \Delta P = \frac{P_i}{P_F} = P_{\text{ev}} = (-1)^l$$

$$\Delta P = 1$$

$$\left. \begin{array}{l} l=1, GT \text{ razpad} \end{array} \right.$$

$$S_{\text{ev}} = 1 \quad \Delta P = \frac{P_i}{P_F} = -1$$

Vsi polovčarjanja
oz propovedanost

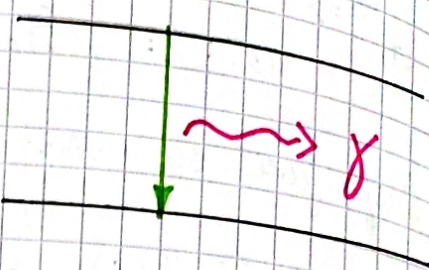
Pomeni da vsi
razpadni časi

Sevanje γ

Električno dipolno sevanje



E_i



$$\frac{1}{\gamma} = \frac{\omega^3 |\langle \vec{P}_e | i \rangle|^2}{3\pi \epsilon_0 c_0^3 \hbar} = \frac{\Gamma}{\hbar} = W_e$$

Verjetnost za petek na časovo enoto

$$\omega = \frac{\Delta E}{\hbar} = \frac{E_i - E_j}{\hbar}$$

Izsevanja moč:

$$P_e = \frac{E \gamma}{\gamma} = \frac{\hbar \omega}{\gamma}$$

Včasih tudi $\gamma \propto \omega/c_0$

$$W_e = \frac{1}{\gamma} = \frac{\omega^3 |\langle \vec{P}_e | i \rangle|^2}{3\pi \hbar \epsilon_0 c_0}$$

Magnetodipolno sevanje:

$$W_m = \frac{1}{\gamma_m} = \frac{\mu_0 h^3 |\langle \vec{P}_m | i \rangle|^2}{3\pi \hbar}$$

$$\frac{W_m}{W_e} = \frac{\mu_0 \epsilon_0}{V c_0^2} \frac{|\langle \vec{P}_m | i \rangle|^2}{|\langle \vec{P}_e | i \rangle|^2} \Rightarrow W_m \ll W_e$$

el.

Operator dipolnega sevanja zapisemo kot:

$$\hat{\vec{P}}_e = e \hat{\vec{r}} \Rightarrow \text{Ocenj: } \langle \vec{P}_e \rangle = \epsilon_0 R_j$$

Operator magnetičnega dipola pa ocenimo kot:

$$\hat{\vec{P}}_m = \dots \quad \text{v splošnem lahko komplikirano}$$

$$\hat{\vec{P}}_m = \dots \Rightarrow \text{Ocenj: } \langle \vec{P}_m \rangle \sim \mu_N = \frac{\epsilon_0 h}{2 M_N}$$

↑ mesta nul/črna

$$\Rightarrow \frac{W_m}{W_e} \approx \frac{\mu_N}{\epsilon_0^2 R_j^2} = \frac{(\hbar c_0)^2}{(2 M_N c_0^2 R_j^2)} \sim \underbrace{10^{-3} - 10^{-4}}_{\text{Ocenj}}$$

Lekcija: Dipolni magnetni prehodi prispevajo Manj.

Natančneje:

$$\langle f | \hat{p}_0 | i \rangle = \int \Psi_f^* \hat{p}_0 \Psi_i d^3 r ; \quad \hat{p}_0 = e \hat{r}$$

$$\langle f | \hat{p}_m | i \rangle = \int \Psi_f^* \hat{p}_m \Psi_i d^3 r ; \quad \hat{p}_m = (g_e \hat{l} + g_s \hat{s}) \mu_N$$

$$g_L = \begin{cases} 1 & ; \text{proton} \\ 0 & ; \text{Neutron} \end{cases}$$

$$g_S = \begin{cases} 5,6 & ; \text{proton} \\ -3,8 & ; \text{Neutron} \end{cases}$$

Tudi pri sevanju j' dobimo multipolne prehode:

Sluica:

$$\langle \Psi_p | \hat{A} | \Psi_i \rangle$$

Velikorski
potencial

$$\rightarrow \hat{A} = A_0 e^{i \vec{q} \cdot \vec{r}}$$

$$q \propto \vec{p}_f$$

Razvoj: tegev nas
pri pripelje v multipolni
razvoj

Splošni izraz za multipole:

$$\langle \hat{p} \rangle = V_{fi} = \int \Psi_f^* \left[\sum_l (\hat{O}_e^{(cm)} + \hat{O}_e^{(e)}) \right] \Psi_i d^3 r$$

Magnetski
multipolni
operatorji

$$\hat{O}_1^{(cm)} = \hat{P}_m$$



↳ električni multipolni
operatorji;

$$l=1$$

$$\hat{O}_1^{(e)} = \vec{p}_e = e_0 \vec{r}$$

l - red multipola

in kratek rang tensorja kot sfirični irreducibilni (necrtežni)

$\hat{T}^{(l)}$ - sfemini irreducibili tenzor ranga l : Slupinji operatorji ki se pri rotacijah transformirajo enako kot sterejni harmoniki.

$$\left\{ T_m^{(l)} \right\}_{m=-l, l} \underbrace{\quad}_{2l+1}$$

Ψ_{lm_0} in Ψ_l so ena od možnih oblik tega zgoraj.

$$\Psi_{lm_0} = \sum_{m'_l} D_{m_l m'_l}^{(l)} \Psi_{lm'_l}$$

↑
rotiran koord.
Sistem

Wignerjevi členi

Ljubljanski koef predstavlja tudi vrtilno izobilino.

Sevanje s tablo 2

Zacetek: V elektromagnetnem polju bo: $H = \frac{(\vec{p} - e\vec{A})^2}{2m} + eV$

in to smo dali v schrödingerjevo enačbo. Umerite smo izbrali, da velja $\nabla \cdot \vec{A} = 0$. Dodatno je:

Coulomb
gauge

$$V = V_0(\vec{r}) + \vec{p}(\vec{r})$$

Nemotrični/
stacionarni
potencial

Zunanji potencial (slupuf $\pm \vec{A}$)

Lepše/Uporabnejši zapisimo H :

$$H = \frac{\vec{p}^2 - 2e\vec{A} \cdot \vec{p} + e^2\vec{A}^2}{2m} + eV_0 + e\vec{p}$$

Ne pozabite da so to operatorji in velja:

$$\vec{A} \cdot \vec{p} + \vec{p} \cdot \vec{A} = 2\vec{A} \cdot \vec{p} + [E\vec{A}, \vec{p}]$$

$$\vec{p} \cdot \vec{A} \psi = \vec{p} \cdot (\vec{A} \psi) = (E\vec{A})\psi + \vec{A} \cdot \vec{p}\psi \sim (\vec{A} \cdot \vec{p})\psi \Rightarrow [\vec{A}, \vec{p}] = 0$$

zameti umetitve

Uporabimo to za opis interakcije z zunanjim EM valovanjem:

Vzemimo najpreprostejši: Lin. polariziran, monokromatski ravn val } Klasični opis
EM valovanje

Izbrekmo $f = 0$ polarizaciju

$$\vec{A} = A_0 \vec{E} \cos(\vec{k} \cdot \vec{r} - wt)$$

amplituda!

A_0 "muffen"

$$\vec{E} = -\nabla \vec{p} - \frac{\partial \vec{A}}{\partial t}$$

$$\vec{B} = \nabla \times \vec{A}$$

$$|\vec{k}| = \frac{\omega}{c}$$

$$\vec{E} \sim A_0 \omega \vec{E} \sin(\vec{k} \cdot \vec{r} - wt)$$

$$\rightarrow \vec{b} = \frac{e}{|k|} \times \vec{E} = \frac{\omega}{c} \hat{n} \times \vec{E}$$

$$\vec{B} \sim 2A_0 \frac{\omega}{c} \hat{n} \sin(\vec{k} \cdot \vec{r} - wt)$$

To bomo sedaj uporabili v Hamiltonianu. Hocemo perturbacijo:

$$H = H_0 + H_{int}$$

Zamemimo

$$H_0 = \frac{\vec{p}^2}{2m} + eV_0 \quad H_{int} = -\frac{e\vec{A} \cdot \vec{p}}{m} + \cancel{\frac{e^2 \vec{A}^2}{2m}}$$

$\vec{A}_0 \quad \vec{A}_0$

Zapisimo $\cos()$ v C zapisu:

$$\cos z = \frac{e^{iz} + e^{-iz}}{2}$$

$$\Rightarrow H_{int} = -\frac{eA_0 \vec{E} \cdot \vec{p}}{2m} \left[\exp(i\vec{k} \cdot \vec{r} - iwt) + \exp(-i\vec{k} \cdot \vec{r} + iwt) \right]$$

$$= V e^{iwt} + V^T e^{-iwt}; \quad V^T = -\frac{eA_0 \vec{E} \cdot \vec{p}}{2m} e^{i\vec{k} \cdot \vec{r}}$$

To se izvazi, da je harmonska perturbacija. To motnjo stvarimo izpeljavo za Fermijovo zlato pravilo.

$$i\hbar a_f(t) = \int_0^t \langle f | H_{\text{int}} | i \rangle e^{i\omega f_i t'} dt'; \quad \omega_{f_i} = \frac{E_f - E_i}{\hbar}$$

Dobimo:

$$a_f(t) = -\frac{i}{\hbar} \int_0^t [V_{f_i} e^{i\omega t'} + V_{f_i}^+ e^{-i\omega t'}] e^{i\omega f_i t'} dt'$$

\downarrow

" $\langle f | V_i | i \rangle$ " " $\langle f | V_i^+ | i \rangle = \langle i | V_i^+ | f \rangle^*$ "

$$a_f(t) = -\frac{it}{\hbar} \left[V_{f_i} \exp\left(i \frac{(\omega + \omega_{f_i}) t}{2}\right) \underbrace{\sin c\left(\frac{(\omega + \omega_{f_i}) t}{2}\right)}_{\text{Sinc 2: } \frac{\sin x}{x}} + V_{f_i}^+ \exp\left(-i \frac{(\omega - \omega_{f_i}) t}{2}\right) \underbrace{\sin c\left(\frac{(\omega - \omega_{f_i}) t}{2}\right)}_{\text{Sinc 2: } \frac{\sin x}{x}} \right]$$

Izbriši bomo samo absorpcijo. Služudiramo in vstavimo v Fermijovo zlato pravilo:

$$|\alpha_{f_{\text{rad}}}^{(4)}|^2 = \frac{e^2 |A_0|^2}{\hbar^2} \frac{1}{4m} \left| \langle f | \vec{E} \cdot \vec{p} e^{-i\omega \cdot \vec{r}} | i \rangle \right|^2 \cdot \frac{\hbar\omega}{\hbar\omega + \omega_{f_i}} = f(\omega)$$

Absorpcija fotona

Vrh pri:
 $\omega = \omega_{f_i}$

$\omega + \omega_{f_i} = 0$

$\omega = -\omega_{f_i}$

$\hbar\omega = E_i - E_f$

$E_i = E_f + \hbar\omega$

Izsevanje
(radiation)

To je t.o. kjer
nus zanira

To damo V zlato pravilo:

$$P_{i \rightarrow f}(t) = \int |a_f(t)|^2 g(\omega) d\omega$$

$\omega(E)$; $E = \hbar\omega$

Gostota en. valovanju je $W_e = \frac{1}{2} E_0 E_0^2 = \frac{1}{2} E_0 \omega^2 / A_0 / 2$

$$P_{i \rightarrow f}(t) = \int \frac{t^2 e^{2i\omega t} W_e}{2 E_0 \hbar^2 m^2 \omega^2} g(\omega) \langle \dots \rangle |^2 \sin^2 [\dots] d\omega$$

Energijška gostota glede na

končna stanje

$$g_e(\omega) = \frac{\hbar\omega^3}{\pi^2 c_0^3} \frac{1}{e^{\hbar\omega/kT} - 1}$$

gostota E

Black
body
radiation



zasedeno st.

Znabimo se še s $\sin^2[\dots]$:

$$\int \sin^2[\alpha z] dz = \int \frac{\pi}{\alpha} \delta(z)$$

$$\frac{1}{\alpha} = \frac{2}{\hbar} \quad z = \omega + \omega_{fi} \Rightarrow V_{rh}/\text{delta pri}$$

$$\omega - \omega_{fi} = \omega_j = \frac{E_i - E_f}{\hbar} > 0$$

Ko ho vse "zeh" integriramo:

Naredimo multipolni razvoj

$$\frac{1}{\gamma} = \lambda = \frac{P_{i \rightarrow f}}{\hbar} = \frac{e^2 \omega_j}{\pi E_0 \hbar c_0^3 m^2} |\langle f | \vec{e} \cdot \vec{p} e^{-i\vec{k} \cdot \vec{r}} | i \rangle|^2; \quad |\vec{h}| = \frac{\omega_j}{c_0}$$

Mi smo tu interferencični člen zanemarili, ker smo sestavili v kvadrat λ^2 vsch možnih stanj, morali pa bi:

$$|\Psi_1 + \Psi_2|^2 = |\Psi_1|^2 + |\Psi_2|^2 + 2 \operatorname{Re} (\Psi_1 \Psi_2^\dagger)$$

interferenca

Kar je smislo, da vsak jedro ima neodvisno od drugih,

\Rightarrow Neohorentno stanje!

Multipolni razvoj:

$$e^{-i\vec{u} \cdot \vec{r}} = 1 - i\vec{u} \cdot \vec{r} + \frac{1}{2} (\vec{u} \cdot \vec{r})^2 + \dots + \frac{(-i\vec{u} \cdot \vec{r})^n}{n!}$$
$$(l = 1, 2, 3, \dots, n+1)$$

(Vektorska funkcija
Vsakega člena)

EI. EII. kvadrupol

dipol

E_1

E_2, \dots

Poglavimo samo električno dipolno približitev:

$$\langle f | \vec{\epsilon} \cdot \vec{p} | i \rangle = \vec{\epsilon} \cdot \langle f | \vec{p} | i \rangle$$

Vedno $[\vec{r}, H_0] = \frac{ie\vec{p}}{m}; E_i | i \rangle = H_i | i \rangle$

$$\langle f | \vec{r} H_0 | i \rangle - \langle f | H_0 \vec{r} | i \rangle = \langle f | \vec{r} | i \rangle [E_i - E_p] =$$
$$= \langle f | \vec{r} | i \rangle \frac{\omega_p}{\hbar}$$

Torej:

$$\langle f | \vec{p} | i \rangle = -im\omega_p \langle f | \vec{r} | i \rangle$$

Dodajmo še e iz polnega kvadratnega:

$$\vec{p}_e = e\vec{r} \text{ el. dip. mom.}$$

Tako dobimo:

$$\frac{1}{\gamma_{dip}} = \frac{\omega_p^3}{m\epsilon_0 c_s^3 \hbar} \boxed{(\vec{\epsilon})} \langle f | \vec{p}_e | i \rangle^2$$

To nas je motil

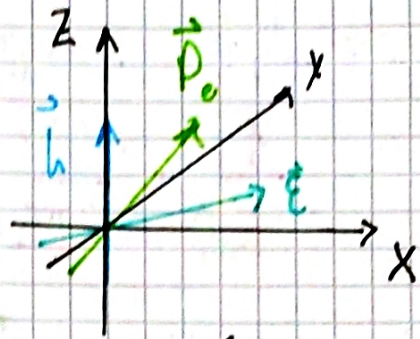
Naredimo poprečje po polarizacijah $\vec{\epsilon}$.

$$\vec{h} = (0, 0, h)$$

$$\vec{P}_e = (P_e \sin \theta, 0, P_e \cos \theta)$$

$$\vec{E} = (\cos \phi, \sin \phi, 0)$$

$$\Rightarrow |\vec{E} \cdot \vec{P}_e|^2 = P_e^2 \sin^2 \theta \cos^2 \phi$$



Povprečje pa pomani

$$\frac{1}{4\pi} \int d\Omega$$

Iz povprečja dobimo $\frac{P_e^2}{3}$; $P_e^2 = |f| e_x |i\rangle|^2 + |f| e_y |i\rangle|^2 + |\langle f| e_z |i\rangle|^2$

Tako dobimo verjetnost za prehod na časovno enoto za el. dip. sevanje:

$$\frac{1}{T_{\text{dip}}^{(c)}} = \frac{\omega^3 P_e^2}{3\pi \epsilon_0 C^3 h}$$

Pogledamo si še magnetno dipulno sevanje!

Nas nain ni upošteval $\vec{\mu} = \vec{p}_m$ sistema. Sustili smo člen $H_m = -\vec{\mu} \cdot \vec{B}$.

$$\vec{B} = \nabla \times \vec{A} = \frac{2\Lambda_0 \omega}{c_0} \vec{b} \sin(\vec{h} \cdot \vec{r} - \omega t);$$

$$\begin{aligned} b_1 &= E_2 \\ b_2 &= -E_1 \\ b_3 &= 0 \end{aligned} \quad \vec{b} \perp \vec{E}$$

Spat to zapisano kot:

$$H_m = V_m e^{i\omega t} + V_m^* e^{-i\omega t}; \quad V_m = -\frac{i\omega \Lambda_0}{c_0} e^{-i\vec{h} \cdot \vec{r}} (\vec{b} \cdot \vec{\mu})$$

Razlika $V \sim 1/c_0$

$$\langle f | \vec{b} \cdot \vec{\mu} | i \rangle = \vec{b} \cdot \langle f | (\vec{\mu}) | i \rangle$$

$$\hookrightarrow \vec{\mu} = \frac{e}{2m} [g_e \vec{i} + g_s \vec{s}]$$

proton/neutron za γ sevanje

Povprečje po \vec{b} je tako kot povprečje po \vec{E} .

Za magnetno dipolo Sevanje ($e^{-i\vec{h} \cdot \vec{r}} = 1$) dobimo:

$$\frac{1}{\gamma_{\text{dip}}} = \frac{\omega^3}{3\pi E_0 c^3} \frac{1}{c_0^2} |\langle f | \hat{\mu} | i \rangle|^2$$

E1 prehod sprava
pamost jedra

Pamost in momenti:

$$\hat{P}_e \xrightarrow{\text{Pamost}} -\hat{P}_e (\vec{r} \rightarrow -\vec{r})$$

$$\hat{\mu} \xrightarrow{\text{Pamost}} \hat{\mu} (\sim \vec{r})$$

Zacetno in končno stanje za el. dip.
nasprotno pamost za el. dip.
prehod.

Zacetno in končno stanje
enako pamost za mag. dip.
moment.

Posplošeno na vseje redce:

E_l : pamost $(-1)^l$

M_J : pamost $(-1)^{J+1}$

M1 prehod ohrami pravca
jedra

Jedro: $| \vec{j} - \vec{j}' | \leq l$ red. multipole

Velja pa preprosto $\vec{j} = \vec{j}' = 0$ ni mogoč (ker ima Foton $J^P = 1^-$)

tističnični posamezni lot E_n

	1	10^{-3}	10^{-6}	10^{-9}
Hitrost razpada	\leftarrow Rate	E_1	E_2	E_3
			M_1	M_2
				M_3
Sprememba pamot	✓	✗	✓	✗
J^P	1^-	2^+	3^-	4^+
J^P	1^+	2^-	3^+	(mag)